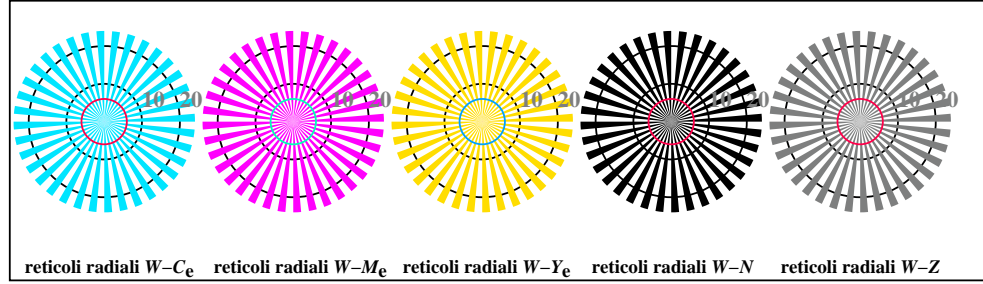
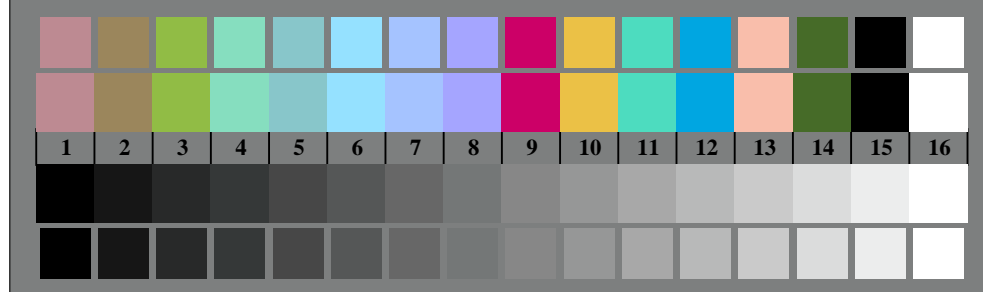




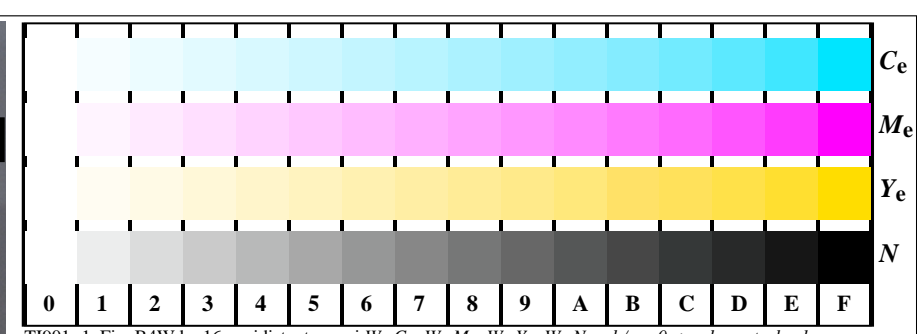
TI900-3, Fig. B1Wde: motivo floreale, 14 prova colori CIE i 2 + 16 grigio passi (nf); PS 3 colorimage



TI900-5, Fig. B2Wde: reticolli radiali  $W-C_e$ ;  $W-M_e$ ;  $W-Y_e$ ;  $W-N$ ; PS operator  $rgb \rightarrow rgb_{de}$  setrgbcolor



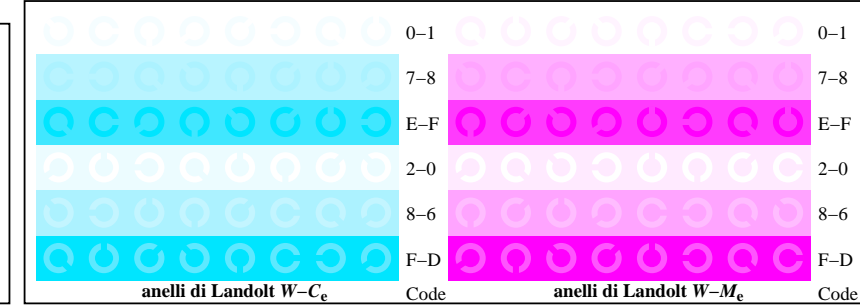
TI900-7, Fig. B3Wde: 14 prova colori CIE i 2 + 16 grigio passi (sf);  $rgb/cmy0 \rightarrow rgb_{de}$  setrgbcolor



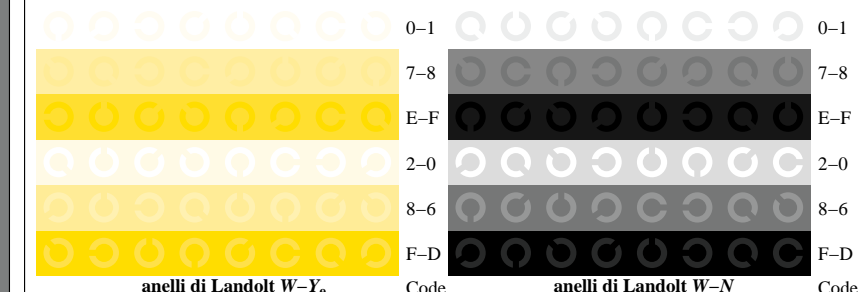
TI900-1, Fig. B4Wde: 16 equidistante passi  $W-C_e$ ;  $W-M_e$ ;  $W-Y_e$ ;  $W-N$ ;  $rgb/cmy0 \rightarrow rgb_{de}$  setrgbcolor

$+:-.$	$Q$	$O$	$O$	$C$	$lmno$	$C$	$O$	$C$	$O$	$lmno$	$pqr$	$O$	$O$	$O$	$O$	$tuvw$
$xyz;$	$O$	$O$	$O$	$C$	$hijk$	$O$	$O$	$O$	$O$	$defg$	$O$	$O$	$O$	$O$	$pqrs$	$O$
$tuvw$	$O$	$O$	$O$	$C$	$!abc$	$O$	$O$	$O$	$O$	$!abc$	$O$	$O$	$O$	$O$	$lmno$	$O$
$pqrs$	$O$	$O$	$O$	$C$	$+:-.$	$O$	$O$	$O$	$O$	$+:-.$	$O$	$O$	$O$	$O$	$hijk$	$O$
$lmno$	$O$	$O$	$O$	$C$	$xyz;$	$O$	$O$	$O$	$O$	$xyz;$	$O$	$O$	$O$	$O$	$tuvw$	$O$
$hijk$	$C$	$C$	$C$	$C$	$tuvw$	$O$	$O$	$O$	$O$	$defg$	$O$	$O$	$O$	$O$	$defg$	$O$
$defg$	$O$	$O$	$O$	$C$	$!abc$	$O$	$O$	$O$	$O$	$!abc$	$O$	$O$	$O$	$O$	$!abc$	$O$
$!abc$	$O$	$O$	$O$	$C$	$10$	$N$	$C_e$	$M_e$	$Y_e$	$Z$	$6$	$N$	$C_e$	$M_e$	$Y_e$	$Z$
																$4$
																$N C_e M_e Y_e Z$

TI900-3, Fig. B5Wde: codice i Landolt anelli  $N$ ;  $C_e$ ;  $M_e$ ;  $Y_e$ ;  $Z$ ; PS operator  $rgb \rightarrow rgb_{de}$  setrgbcolor



TI900-5, Fig. B6Wde: anelli di Landolt  $W-C_e$ ;  $W-M_e$ ; PS operator  $rgb \rightarrow rgb_{de}$  setrgbcolor



TI900-7, Fig. B7Wde: anelli di Landolt  $W-Y_e$ ;  $W-N$ ; PS operator  $rgb \rightarrow rgb_{de}$  setrgbcolor